



УДК: 615:83:615.89

МАКАЦ Дм.В.

МЕТОДОЛОГІЯ АКУПУНКТУРНОЇ ДІАГНОСТИКИ (ІНФОРМАЦІЯ 6)

Старший науковий працівник (Вінницька філія Державного підприємства Український НДІ медицини транспорту МОЗ України)

Методологія функціонально-вегетативної діагностики без використання зовнішніх джерел струму (за методом професора Макаца В.Г.) не має світових аналогів. Вона дозволяє оцінити рівні функціонально-вегетативного стану людини, базується на оцінці системно-залежної біоелектричної активності традиційних акупунктурних зон і дає співставимі результати при повторних обстеженнях.
Ключові слова: Чжень-цзю терапія, функціонально-вегетативна діагностика, вегетативний гомеостаз, функціональна реабілітація.

The methodology of the functional-vegetative diagnostics without the use of external current sources (according to the method of Professor V.G. Makats) is unique. It allows to assess the levels of human functional vegetative states, based on the evaluation of the system-dependent bioelectric activity of traditional acupuncture zones and gives comparable results during the repeated examinations.

Keywords: Acupuncture therapy, functional-vegetative diagnostics, vegetative homeostasis, functional rehabilitation.

Методологія функціонально-вегетативної діагностики без використання зовнішніх джерел струму (за методом професора Макаца В.Г.) не має світових аналогів. Вона дозволяє оцінити рівні функціонально-вегетативного стану людини, базується на оцінці системно-залежної біоелектричної активності традиційних акупунктурних зон і дає співставимі результати при повторних обстеженнях.

Ключевые слова: Чжень-цзю терапия, функционально-вегетативная диагностика, вегетативный гомеостаз, функциональная реабилитация.

Впровадження в практичну медицину методології функціонально-вегетативної діагностики (ФВД) відповідає рекомендаціям Міжнародної наради ВОЗ по традиційній медицині (Єреван, 19-21. 09.2003), наказам МОЗ України (№360 від 19.12.1997) і МОЗ РФ (№ 364 від 10.12.1997) по розділу "народна і нетрадиційна медицина".

Тому слід ще раз згадати міжнародну класифікацію репрезентативних акупунктурних ФАЗ (мал.1).

Для реалізації ФВД в амбулаторних і стаціонарних умовах необхідно зробити декілька послідовних кроків.

Традиційний канал	МАН *	ФН	Традиційний канал	МАН *	ФН
Легені	LU	P	Сечовий міхур	BL	V
Товстий кишковик	LI	GI	Нирки	KI	R
Шлунок	ST	E	Перикард	PC	MC
Селезінка - підшлункова залоза	SP	RP	Трійний об'єднаний	TE	TR
Серце	HT	C	Жовчний міхур	GB	VB
Тонкий кишковик	SI	IG	Печінка	LR	F

*МАН – міжнародна номенклатура ВОЗ;
 ФН – її французький аналог.

Мал.1

Т.Л.І.

Крок-1.

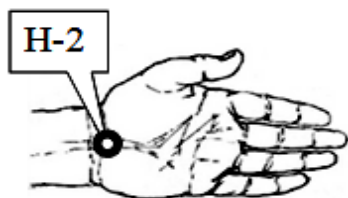
1) Локалізувати топографію репрезентативних ФАЗ (табл. 1);

Таблиця 1

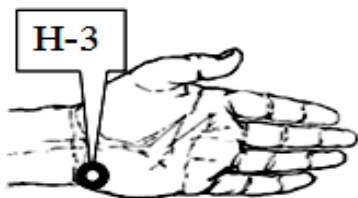
ТОПОГРАФІЯ РЕПРЕЗЕНТАТИВНИХ ФАЗ. РЕПРЕЗЕНТАТИВНІ ФАЗ РУКИ.



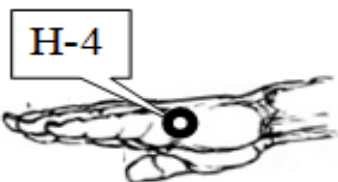
H1 = LU-9 ТАЙ-ЮАНЬ ▼ – в заглибленні на кінці поперекової шкірної складки променево-зап'ясткового суглобу, у променевого краю променевої артерії.



H2=PC⁻⁷ ДА-ЛІН ◆ – на поперековій шкірній складці променево-зап'ясткового суглобу, між сухожиллями довгого долонного м'яза і променевого згинача зап'ястка.



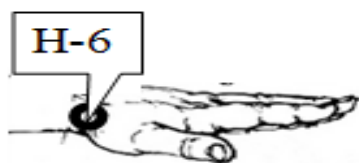
H3=HT⁻⁷ ШЕНЬ-МЕНЬ ◆ - на поперековій шкірній складці променево-зап'ясткового суглобу в заглибленні між гороховидною і ліктьовою кістками (у променевого краю сухожилка ліктьового згинача зап'ястка).



H4=SI⁻⁴ ВАНЬ-ГУ ◆ – на ліктьовому краю долоні, між основою в п'ясткової кістки і кістками зап'ястка.

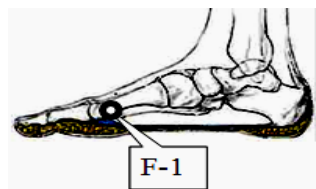


H5=TE⁻⁴ ЯН-ЧІ ◆ – на ліктьовому краю долоні, між основою в п'ясткової кістки і кістками зап'ястка



H6=LI⁻⁵ ЯН-СІ ◆ - у променевого краю зап'ястка, між сухожиллями короткого і довгого розгиначів великого пальця(у центрі анатомічної табакерки).

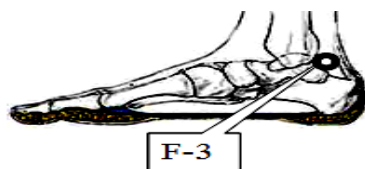
РЕПРЕЗЕНТАТИВНІ ФАЗ НОГИ.



F1=SP⁻³ ТАЙ-БАЙ ◆ - по медіальному краю, в заглибленні позаду і знизу від голівки I плеснової кістки.



F2=LR⁻³ ТАЙ-ЧУН ◆ - на тильній поверхні стопи, в найвужчому місці між I-II плесновими кістками.



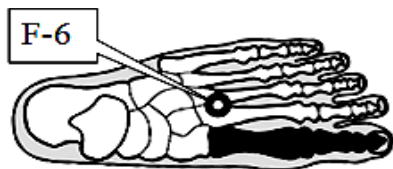
F3=KI⁻³ ТАЙ-СІ ◆ – посередині горизонтальної відстані між сухожиллям п'яти і медіальною кісточкою (на рівні її центру).



F4=BL⁻⁶⁵ ШУ-ГУ ▼ - по латеральному краю стопи, в заглибленні, позаду і знизу від голівки I плеснової кістки.



F5=GB⁻⁴⁰ ЦЮ-СЮЙ ◆ – попереду і знизу від латеральної кісточки, в заглибленні, з зовнішнього краю сухожилля довгого розгинача пальців.



F6=ST⁻⁴² ЧУН-ЯН ▼◆ – на самій піднесеній частині тилу стопи, між суглобами II-III клиновидних і II-III плеснових кісток.

2) Підготувати прилад ВІТА-01М та діагностичні електроди ДЕ і АЕ. Базовий електрод АЕ (опукла пластина із спеціального сплаву 5x10 см) через змочену теплою водою або фізіологічним розчином прокладку, розташовується в центральній мезогастральній (пупковій) області і фіксується ременем на реп'яховому замку.

3) Поролон (що укриває електроди ДЕ в ебонітових чашках) перед ФВД зволюються за допомогою шприца теплою водою. Він повинен виступати за межі чашок на 1-2 мм для м'якого контакту з ФАЗ.

4) В процесі тестування електроди ДЕ під прямим кутом легким дотики одночасно контактують з кожною парою симетричних репрезентативних ФАЗ впродовж 3-4 секунд. Через кожні три контакти електроди повторно змочуються в підготовленому теплому розчині.

5) Враховуючи Орто- та Клиностатичні особливості функціональних систем SP-VL, ФВД проводять в положенні пацієнта стоячи на дерев'яній підставці заввишки 35-40 см. Спочатку тестуємо симетричні репрезентативні ФАЗ верхніх кінцівок (Н), потім нижніх (F). Виміри починають з Н-1, Н-2 і Н-3 (позиція "долоні до оператора"). У наступній позиції (тил долонь до оператора) тестують зони Н-4, Н-5 і Н-6. Особливо ретельно слід локалізувати ФАЗ Н-5, оскільки вона ледь зміщена від осі четвертого пальця до мізинця. Аналогічно тестують ФАЗ стопи (F-1... F-6).

КРОК-2. Отримані дані переносимо в комп'ютер (при автоматичному трансферті гальванічна розв'язка істотно спотворює показники природної біоелектричної активності ФАЗ).

Програмне забезпечення ФВД:

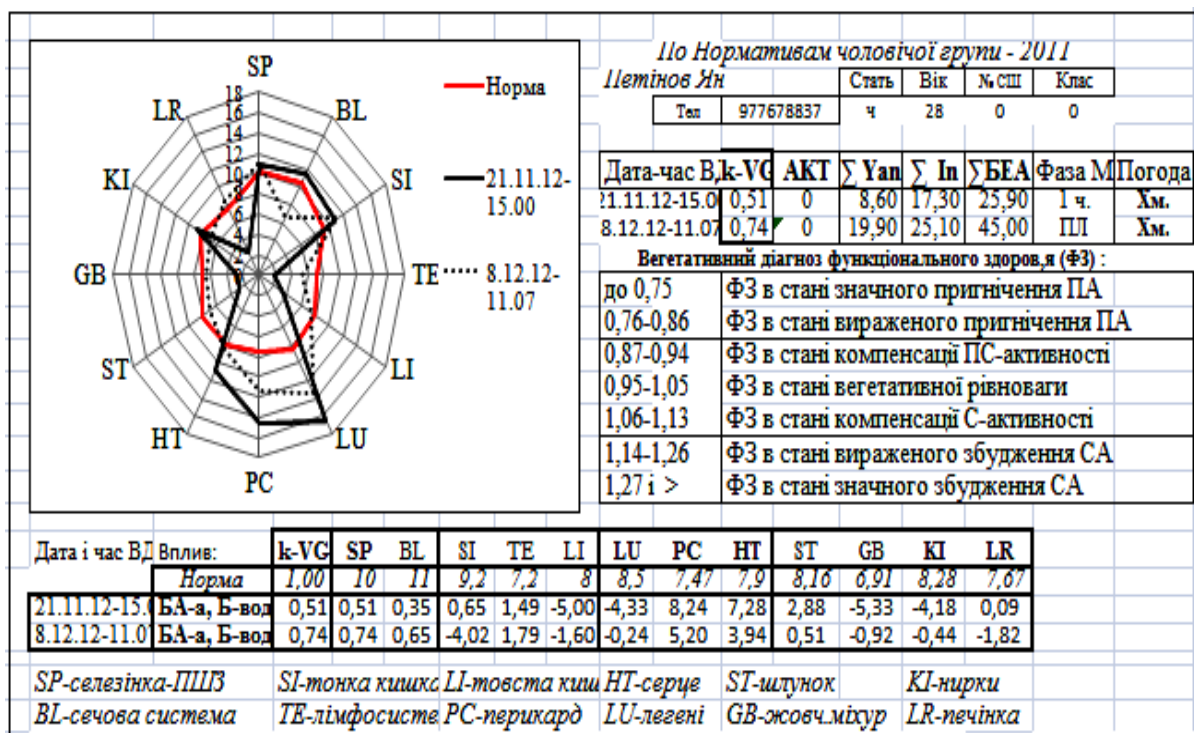
1) скорочує аналіз до 5-6 хвилин і видає індивідуальні рекомендації по реабілітаційній стратегії і тактиці (мал.2);

2) передбачає утворення банку функціонального здоров'я дітей (їх екологічної паспортизації)...

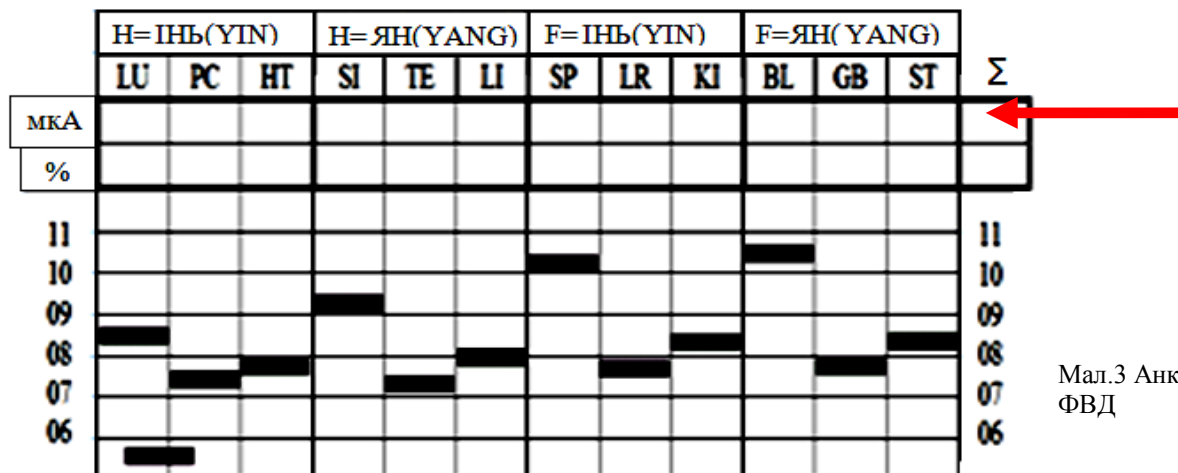
На першому етапі ФВД доцільно провести 2-3 тестування з інтервалом 10-15 хвилин. Це дає можливість виявити стійкі (патологічні) і функціональні відхилення біоелектричної активності (БЭА) окремих систем, що обумовлює тактику подальшої вегетативної реабілітації.

КРОК-3.

Аналіз результатів ФВД можна провести в спрощеному форматі (мал.3). Отримані дванадцять показників заносять в рядок "мкА" анкети і визначають їх суму "Σ".



Мал.2



Мал.3 Анкета ФВД

ВЕГЕТАТИВНИЙ ДІАГНОЗ ПО КОЕФІЦІЄНТАМ ВР
VEGETATIVE DIAGNOSIS ON COEFFICIENTS OF VEGETATIVE EQUILIBRIUM

ПА-з	ПА-в	ФкП	ВР	ФкС	СА-в	СА-з
PA-s	PA-e	FkP	VE	FkS	SA-e	SA-s
0,75(<)	0,76-0,86	0,87-0,94	0,95-1,05	1,06-1,13	1,14-1,25	1,26(>)

© В.Макац, Є.Макац, Д.Макац, Д.Макац

По таблицям відносних значень (табл.2) визначаємо питому вагу кожного виміру в сумарній біоелектричній активності (прийнятій за 100 %), заносимо в рядок анкети "%" і відмічаємо в осередках координатної сітки в межах 6-11 %. Тоновані ділянки сітки указують системну зону вегетативної рівноваги (ВР), вище за яку знаходиться область симпатичної, а нижче - парасимпатичної активності.

Приклад. Сумарна активність каналів складає 45 мКА, а двох шуканих каналів 4 і 11 мКА. У таблиці з порядковим номером 45 знаходимо відносне значення для 4 мКА 8,8% і для 11 мКА - 24,4% (мал.4, табл..2).

45

д/од	0	1	2	3	4	5	6	7	8	9
0		2,2	4,4	6,6	8,8	11,1	13,3	15,5	17,7	20,0
1	22,2	24,4	26,6	28,8	31,1	33,3	35,5	37,7	40,0	42,2

Мал.4

Якщо сумарна активність функціональних систем перевищує максимальний номер таблиці, отримані дані, відповідно, зменшуються удвічі (на процентне співвідношення це не впливає). При значеннях, що перевищують цілі числа (на 1/2 або 1/4), в розрахунок вводиться відповідний коефіцієнт поправки...

Розрахункові таблиці (табл.2.2) складені з метою оперативного розрахунку відносних значень аналізованих показників. В них використані скорочення: "д" (десятки) і "од" (одиниці). Спочатку вибираємо таблицю, порядковий номер якої відповідає сумарній активності обстежених ФАЗ. Відносне значення кожного каналу у % визначаємо на перехресті граф "д" і "од"...

Таблиця 2

Таблиці відносних значень репрезентативних ФАЗ.

Σ 5	0,5	1	1,5	2	2,5	3	3,5	4	4,5	5	5,5	6	6,5	7	7,5	8	8,5	9	9,5	10
1...-%	10,0	20,0	30,0	40,0	50,0	60,0	70,0	80,0	90,0	100,0										
10...-%																				
Σ 5,5	0,5	1	1,5	2	2,5	3	3,5	4	4,5	5	5,5	6	6,5	7	7,5	8	8,5	9	9,5	10
1...-%	9,1	18,2	27,3	36,4	45,5	54,5	63,6	72,7	81,8	90,9	100,0									
10...-%																				
Σ 6	0,5	1	1,5	2	2,5	3	3,5	4	4,5	5	5,5	6	6,5	7	7,5	8	8,5	9	9,5	10
1...-%	8,3	16,7	25,0	33,3	41,7	50,0	58,3	66,7	75,0	83,3	91,7	100,0								
10...-%																				
Σ 6,5	0,5	1	1,5	2	2,5	3	3,5	4	4,5	5	5,5	6	6,5	7	7,5	8	8,5	9	9,5	10
1...-%	7,7	15,4	23,1	30,8	38,5	46,2	53,8	61,5	69,2	76,9	84,6	92,3	100,0							
10...-%																				
Σ 7	0,5	1	1,5	2	2,5	3	3,5	4	4,5	5	5,5	6	6,5	7	7,5	8	8,5	9	9,5	10
1...-%	7,1	14,3	21,4	28,6	35,7	42,9	50,0	57,1	64,3	71,4	78,6	85,7	92,9	100,0						
10...-%																				
Σ 7,5	0,5	1	1,5	2	2,5	3	3,5	4	4,5	5	5,5	6	6,5	7	7,5	8	8,5	9	9,5	10
1...-%	6,7	13,3	20,0	26,7	33,3	40,0	46,7	53,3	60,0	66,7	73,3	80,0	86,7	93,3	100,0					
10...-%																				
Σ 8	0,5	1	1,5	2	2,5	3	3,5	4	4,5	5	5,5	6	6,5	7	7,5	8	8,5	9	9,5	10
1...-%	6,3	12,5	18,8	25,0	31,3	37,5	43,8	50,0	56,3	62,5	68,8	75,0	81,3	87,5	93,8	100,0				
10...-%																				
Σ 8,5	0,5	1	1,5	2	2,5	3	3,5	4	4,5	5	5,5	6	6,5	7	7,5	8	8,5	9	9,5	10
1...-%	5,9	11,8	17,6	23,5	29,4	35,3	41,2	47,1	52,9	58,8	64,7	70,6	76,5	82,4	88,2	94,1	100,0			
10...-%																				
Σ 9	0,5	1	1,5	2	2,5	3	3,5	4	4,5	5	5,5	6	6,5	7	7,5	8	8,5	9	9,5	10
1...-%	5,6	11,1	16,7	22,2	27,8	33,3	38,9	44,4	50,0	55,6	61,1	66,7	72,2	77,8	83,3	88,9	94,4	100,0		
10...-%																				
Σ 9,5	0,5	1	1,5	2	2,5	3	3,5	4	4,5	5	5,5	6	6,5	7	7,5	8	8,5	9	9,5	10
1...-%	5,3	10,5	15,8	21,1	26,3	31,6	36,8	42,1	47,4	52,6	57,9	63,2	68,4	73,7	78,9	84,2	89,5	94,7	100,0	
10...-%																				

Σ 10	0,5	1	1,5	2	2,5	3	3,5	4	4,5	5	5,5	6	6,5	7	7,5	8	8,5	9	9,5	10
1...-%	5,0	10,0	15,0	20,0	25,0	30,0	35,0	40,0	45,0	50,0	55,0	60,0	65,0	70,0	75,0	80,0	85,0	90,0	95,0	100,0
10...-%																				
Σ 10,5	0,5	1	1,5	2	2,5	3	3,5	4	4,5	5	5,5	6	6,5	7	7,5	8	8,5	9	9,5	10
1...-%	4,8	9,5	14,3	19,0	23,8	28,6	33,3	38,1	42,9	47,6	52,4	57,1	61,9	66,7	71,4	76,2	81,0	85,7	90,5	95,2
10...-%	100,0																			
Σ 11	0,5	1	1,5	2	2,5	3	3,5	4	4,5	5	5,5	6	6,5	7	7,5	8	8,5	9	9,5	10
1...-%	4,5	9,1	13,6	18,2	22,7	27,3	31,8	36,4	40,9	45,5	50,0	54,5	59,1	63,6	68,2	72,7	77,3	81,8	86,4	90,9
10...-%	95,5																			
Σ 11,5	0,5	1	1,5	2	2,5	3	3,5	4	4,5	5	5,5	6	6,5	7	7,5	8	8,5	9	9,5	10
1...-%	4,3	8,7	13,0	17,4	21,7	26,1	30,4	34,8	39,1	43,5	47,8	52,2	56,5	60,9	65,2	69,6	73,9	78,3	82,6	87,0
10...-%	91,3																			
Σ 12	0,5	1	1,5	2	2,5	3	3,5	4	4,5	5	5,5	6	6,5	7	7,5	8	8,5	9	9,5	10
1...-%	4,2	8,3	12,5	16,7	20,8	25,0	29,2	33,3	37,5	41,7	45,8	50,0	54,2	58,3	62,5	66,7	70,8	75,0	79,2	83,3
10...-%	87,5	91,7	95,8	100,0																
Σ 12,5	0,5	1	1,5	2	2,5	3	3,5	4	4,5	5	5,5	6	6,5	7	7,5	8	8,5	9	9,5	10
1...-%	4,0	8,0	12,0	16,0	20,0	24,0	28,0	32,0	36,0	40,0	44,0	48,0	52,0	56,0	60,0	64,0	68,0	72,0	76,0	80,0
10...-%	84,0	88,0	92,0	96,0																
Σ 12,5	0,5	1	1,5	2	2,5	3	3,5	4	4,5	5	5,5	6	6,5	7	7,5	8	8,5	9	9,5	10
1...-%	4,0	8,0	12,0	16,0	20,0	24,0	28,0	32,0	36,0	40,0	44,0	48,0	52,0	56,0	60,0	64,0	68,0	72,0	76,0	80,0
10...-%	84,0	88,0	92,0	96,0	100,0															
Σ 13	0,5	1	1,5	2	2,5	3	3,5	4	4,5	5	5,5	6	6,5	7	7,5	8	8,5	9	9,5	10
1...-%	3,8	7,7	11,5	15,4	19,2	23,1	26,9	30,8	34,6	38,5	42,3	46,2	50,0	53,8	57,7	61,5	65,4	69,2	73,1	76,9
10...-%	80,8	84,6	88,5	92,3	96,2	100,0														
Σ 13,5	0,5	1	1,5	2	2,5	3	3,5	4	4,5	5	5,5	6	6,5	7	7,5	8	8,5	9	9,5	10
1...-%	3,7	7,4	11,1	14,8	18,5	22,2	25,9	29,6	33,3	37,0	40,7	44,4	48,1	51,9	55,6	59,3	63,0	66,7	70,4	74,1
10...-%	77,8	81,5	85,2	88,9	92,6	96,3	100,0													
Σ 14	0,5	1	1,5	2	2,5	3	3,5	4	4,5	5	5,5	6	6,5	7	7,5	8	8,5	9	9,5	10
1...-%	3,6	7,1	10,7	14,3	17,9	21,4	25,0	28,6	32,1	35,7	39,3	42,9	46,4	50,0	53,6	57,1	60,7	64,3	67,9	71,4
10...-%	75,0	78,6	82,1	85,7	89,3	92,9	96,4	100,0												
Σ 14,5	0,5	1	1,5	2	2,5	3	3,5	4	4,5	5	5,5	6	6,5	7	7,5	8	8,5	9	9,5	10
1...-%	3,4	6,9	10,3	13,8	17,2	20,7	24,1	27,6	31,0	34,5	37,9	41,4	44,8	48,3	51,7	55,2	58,6	62,1	65,5	69,0
10...-%	72,4	75,9	79,3	82,8	86,2	89,7	93,1	96,6	100,0											
Σ 15	0,5	1	1,5	2	2,5	3	3,5	4	4,5	5	5,5	6	6,5	7	7,5	8	8,5	9	9,5	10
1...-%	3,3	6,7	10,0	13,3	16,7	20,0	23,3	26,7	30,0	33,3	36,7	40,0	43,3	46,7	50,0	53,3	56,7	60,0	63,3	66,7
10...-%	70,0	73,3	76,7	80,0	83,3	86,7	90,0	93,3	96,7	100,0										
Σ 15,5	0,5	1	1,5	2	2,5	3	3,5	4	4,5	5	5,5	6	6,5	7	7,5	8	8,5	9	9,5	10
1...-%	3,2	6,5	9,7	12,9	16,1	19,4	22,6	25,8	29,0	32,3	35,5	38,7	41,9	45,2	48,4	51,6	54,8	58,1	61,3	64,5
10...-%	67,7	71,0	74,2	77,4	80,6	83,9	87,1	90,3	93,5	96,8	100,0									
Σ 16	0,5	1	1,5	2	2,5	3	3,5	4	4,5	5	5,5	6	6,5	7	7,5	8	8,5	9	9,5	10
1...-%	3,1	6,3	9,4	12,5	15,6	18,8	21,9	25,0	28,1	31,3	34,4	37,5	40,6	43,8	46,9	50,0	53,1	56,3	59,4	62,5
10...-%	65,6	68,8	71,9	75,0	78,1	81,3	84,4	87,5	90,6	93,8	96,9	100,0								
Σ 16,5	0,5	1	1,5	2	2,5	3	3,5	4	4,5	5	5,5	6	6,5	7	7,5	8	8,5	9	9,5	10
1...-%	3,0	6,1	9,1	12,1	15,2	18,2	21,2	24,2	27,3	30,3	33,3	36,4	39,4	42,4	45,5	48,5	51,5	54,5	57,6	60,6
10...-%	63,6	66,7	69,7	72,7	75,8	78,8	81,8	84,8	87,9	90,9	93,9	97,0	100,0							

Σ 17	0,5	1	1,5	2	2,5	3	3,5	4	4,5	5	5,5	6	6,5	7	7,5	8	8,5	9	9,5	10
1...%	2,9	5,9	8,8	11,8	14,7	17,6	20,6	23,5	26,5	29,4	32,4	35,3	38,2	41,2	44,1	47,1	50,0	52,9	55,9	58,8
10...%	61,8	64,7	67,6	70,6	73,5	76,5	79,4	82,4	85,3	88,2	91,2	94,1	97,1	100,0						
Σ 17,5	0,5	1	1,5	2	2,5	3	3,5	4	4,5	5	5,5	6	6,5	7	7,5	8	8,5	9	9,5	10
1...%	2,9	5,7	8,6	11,4	14,3	17,1	20,0	22,9	25,7	28,6	31,4	34,3	37,1	40,0	42,9	45,7	48,6	51,4	54,3	57,1
10...%	60,0	62,9	65,7	68,6	71,4	74,3	77,1	80,0	82,9	85,7	88,6	91,4	94,3	97,1	100,0					
Σ 18	0,5	1	1,5	2	2,5	3	3,5	4	4,5	5	5,5	6	6,5	7	7,5	8	8,5	9	9,5	10
1...%	2,8	5,6	8,3	11,1	13,9	16,7	19,4	22,2	25,0	27,8	30,6	33,3	36,1	38,9	41,7	44,4	47,2	50,0	52,8	55,6
10...%	58,3	61,1	63,9	66,7	69,4	72,2	75,0	77,8	80,6	83,3	86,1	88,9	91,7	94,4	97,2	100,0				
Σ 18,5	0,5	1	1,5	2	2,5	3	3,5	4	4,5	5	5,5	6	6,5	7	7,5	8	8,5	9	9,5	10
1...%	2,7	5,4	8,1	10,8	13,5	16,2	18,9	21,6	24,3	27,0	29,7	32,4	35,1	37,8	40,5	43,2	45,9	48,6	51,4	54,1
10...%	56,8	59,5	62,2	64,9	67,6	70,3	73,0	75,7	78,4	81,1	83,8	86,5	89,2	91,9	94,6	97,3	100,0			
Σ 19	0,5	1	1,5	2	2,5	3	3,5	4	4,5	5	5,5	6	6,5	7	7,5	8	8,5	9	9,5	10
1...%	2,6	5,3	7,9	10,5	13,2	15,8	18,4	21,1	23,7	26,3	28,9	31,6	34,2	36,8	39,5	42,1	44,7	47,4	50,0	52,6
10...%	55,3	57,9	60,5	63,2	65,8	68,4	71,1	73,7	76,3	78,9	81,6	84,2	86,8	89,5	92,1	94,7	97,4	100,0		
Σ 19,5	0,5	1	1,5	2	2,5	3	3,5	4	4,5	5	5,5	6	6,5	7	7,5	8	8,5	9	9,5	10
1...%	2,6	5,1	7,7	10,3	12,8	15,4	17,9	20,5	23,1	25,6	28,2	30,8	33,3	35,9	38,5	41,0	43,6	46,2	48,7	51,3
10...%	53,8	56,4	59,0	61,5	64,1	66,7	69,2	71,8	74,4	76,9	79,5	82,1	84,6	87,2	89,7	92,3	94,9	97,4	100,0	
Σ 20	0,5	1	1,5	2	2,5	3	3,5	4	4,5	5	5,5	6	6,5	7	7,5	8	8,5	9	9,5	10
1...%	2,5	5,0	7,5	10,0	12,5	15,0	17,5	20,0	22,5	25,0	27,5	30,0	32,5	35,0	37,5	40,0	42,5	45,0	47,5	50,0
10...%	52,5	55,0	57,5	60,0	62,5	65,0	67,5	70,0	72,5	75,0	77,5	80,0	82,5	85,0	87,5	90,0	92,5	95,0	97,5	100,0
Σ 20,5	0,5	1	1,5	2	2,5	3	3,5	4	4,5	5	5,5	6	6,5	7	7,5	8	8,5	9	9,5	10
1...%	2,4	4,9	7,3	9,8	12,2	14,6	17,1	19,5	22,0	24,4	26,8	29,3	31,7	34,1	36,6	39,0	41,5	43,9	46,3	48,8
10...%	51,2	53,7	56,1	58,5	61,0	63,4	65,9	68,3	70,7	73,2	75,6	78,0	80,5	82,9	85,4	87,8	90,2	92,7	95,1	97,6
Σ 21	0,5	1	1,5	2	2,5	3	3,5	4	4,5	5	5,5	6	6,5	7	7,5	8	8,5	9	9,5	10
1...%	2,4	4,8	7,1	9,5	11,9	14,3	16,7	19,0	21,4	23,8	26,2	28,6	31,0	33,3	35,7	38,1	40,5	42,9	45,2	47,6
10...%	50,0	52,4	54,8	57,1	59,5	61,9	64,3	66,7	69,0	71,4	73,8	76,2	78,6	81,0	83,3	85,7	88,1	90,5	92,9	95,2
Σ 21,5	0,5	1	1,5	2	2,5	3	3,5	4	4,5	5	5,5	6	6,5	7	7,5	8	8,5	9	9,5	10
1...%	2,3	4,7	7,0	9,3	11,6	14,0	16,3	18,6	20,9	23,3	25,6	27,9	30,2	32,6	34,9	37,2	39,5	41,9	44,2	46,5
10...%	48,8	51,2	53,5	55,8	58,1	60,5	62,8	65,1	67,4	69,8	72,1	74,4	76,7	79,1	81,4	83,7	86,0	88,4	90,7	93,0
Σ 22	0,5	1	1,5	2	2,5	3	3,5	4	4,5	5	5,5	6	6,5	7	7,5	8	8,5	9	9,5	10
1...%	2,3	4,5	6,8	9,1	11,4	13,6	15,9	18,2	20,5	22,7	25,0	27,3	29,5	31,8	34,1	36,4	38,6	40,9	43,2	45,5
10...%	47,7	50,0	52,3	54,5	56,8	59,1	61,4	63,6	65,9	68,2	70,5	72,7	75,0	77,3	79,5	81,8	84,1	86,4	88,6	90,9
Σ 22,5	0,5	1	1,5	2	2,5	3	3,5	4	4,5	5	5,5	6	6,5	7	7,5	8	8,5	9	9,5	10
1...%	2,2	4,4	6,7	8,9	11,1	13,3	15,6	17,8	20,0	22,2	24,4	26,7	28,9	31,1	33,3	35,6	37,8	40,0	42,2	44,4
10...%	46,7	48,9	51,1	53,3	55,6	57,8	60,0	62,2	64,4	66,7	68,9	71,1	73,3	75,6	77,8	80,0	82,2	84,4	86,7	88,9
Σ 23	0,5	1	1,5	2	2,5	3	3,5	4	4,5	5	5,5	6	6,5	7	7,5	8	8,5	9	9,5	10
1...%	2,2	4,3	6,5	8,7	10,9	13,0	15,2	17,4	19,6	21,7	23,9	26,1	28,3	30,4	32,6	34,8	37,0	39,1	41,3	43,5
10...%	45,7	47,8	50,0	52,2	54,3	56,5	58,7	60,9	63,0	65,2	67,4	69,6	71,7	73,9	76,1	78,3	80,4	82,6	84,8	87,0
Σ 23,5	0,5	1	1,5	2	2,5	3	3,5	4	4,5	5	5,5	6	6,5	7	7,5	8	8,5	9	9,5	10
1...%	2,1	4,3	6,4	8,5	10,6	12,8	14,9	17,0	19,1	21,3	23,4	25,5	27,7	29,8	31,9	34,0	36,2	38,3	40,4	42,6
10...%	44,7	46,8	48,9	51,1	53,2	55,3	57,4	59,6	61,7	63,8	66,0	68,1	70,2	72,3	74,5	76,6	78,7	80,9	83,0	85,1
Σ 24	0,5	1	1,5	2	2,5	3	3,5	4	4,5	5	5,5	6	6,5	7	7,5	8	8,5	9	9,5	10
1...%	2,1	4,2	6,3	8,3	10,4	12,5	14,6	16,7	18,8	20,8	22,9	25,0	27,1	29,2	31,3	33,3	35,4	37,5	39,6	41,7
10...%	43,8	45,8	47,9	50,0	52,1	54,2	56,3	58,3	60,4	62,5	64,6	66,7	68,8	70,8	72,9	75,0	77,1	79,2	81,3	83,3

Σ 24,5	0,5	1	1,5	2	2,5	3	3,5	4	4,5	5	5,5	6	6,5	7	7,5	8	8,5	9	9,5	10
1...-%	2,0	4,1	6,1	8,2	10,2	12,2	14,3	16,3	18,4	20,4	22,4	24,5	26,5	28,6	30,6	32,7	34,7	36,7	38,8	40,8
10...-%	42,9	44,9	46,9	49,0	51,0	53,1	55,1	57,1	59,2	61,2	63,3	65,3	67,3	69,4	71,4	73,5	75,5	77,6	79,6	81,6
Σ 25	0,5	1	1,5	2	2,5	3	3,5	4	4,5	5	5,5	6	6,5	7	7,5	8	8,5	9	9,5	10
1...-%	2,0	4,0	6,0	8,0	10,0	12,0	14,0	16,0	18,0	20,0	22,0	24,0	26,0	28,0	30,0	32,0	34,0	36,0	38,0	40,0
10...-%	42,0	44,0	46,0	48,0	50,0	52,0	54,0	56,0	58,0	60,0	62,0	64,0	66,0	68,0	70,0	72,0	74,0	76,0	78,0	80,0
Σ 25,5	0,5	1	1,5	2	2,5	3	3,5	4	4,5	5	5,5	6	6,5	7	7,5	8	8,5	9	9,5	10
1...-%	2,0	3,9	5,9	7,8	9,8	11,8	13,7	15,7	17,6	19,6	21,6	23,5	25,5	27,5	29,4	31,4	33,3	35,3	37,3	39,2
10...-%	41,2	43,1	45,1	47,1	49,0	51,0	52,9	54,9	56,9	58,8	60,8	62,7	64,7	66,7	68,6	70,6	72,5	74,5	76,5	78,4
Σ 26	0,5	1	1,5	2	2,5	3	3,5	4	4,5	5	5,5	6	6,5	7	7,5	8	8,5	9	9,5	10
1...-%	1,9	3,8	5,8	7,7	9,6	11,5	13,5	15,4	17,3	19,2	21,2	23,1	25,0	26,9	28,8	30,8	32,7	34,6	36,5	38,5
10...-%	40,4	42,3	44,2	46,2	48,1	50,0	51,9	53,8	55,8	57,7	59,6	61,5	63,5	65,4	67,3	69,2	71,2	73,1	75,0	76,9
Σ 26,5	0,5	1	1,5	2	2,5	3	3,5	4	4,5	5	5,5	6	6,5	7	7,5	8	8,5	9	9,5	10
1...-%	1,9	3,8	5,7	7,5	9,4	11,3	13,2	15,1	17,0	18,9	20,8	22,6	24,5	26,4	28,3	30,2	32,1	34,0	35,8	37,7
10...-%	39,6	41,5	43,4	45,3	47,2	49,1	50,9	52,8	54,7	56,6	58,5	60,4	62,3	64,2	66,0	67,9	69,8	71,7	73,6	75,5
Σ 27	0,5	1	1,5	2	2,5	3	3,5	4	4,5	5	5,5	6	6,5	7	7,5	8	8,5	9	9,5	10
1...-%	1,9	3,7	5,6	7,4	9,3	11,1	13,0	14,8	16,7	18,5	20,4	22,2	24,1	25,9	27,8	29,6	31,5	33,3	35,2	37,0
10...-%	38,9	40,7	42,6	44,4	46,3	48,1	50,0	51,9	53,7	55,6	57,4	59,3	61,1	63,0	64,8	66,7	68,5	70,4	72,2	74,1
Σ 27,5	0,5	1	1,5	2	2,5	3	3,5	4	4,5	5	5,5	6	6,5	7	7,5	8	8,5	9	9,5	10
1...-%	1,8	3,6	5,5	7,3	9,1	10,9	12,7	14,5	16,4	18,2	20,0	21,8	23,6	25,5	27,3	29,1	30,9	32,7	34,5	36,4
10...-%	38,2	40,0	41,8	43,6	45,5	47,3	49,1	50,9	52,7	54,5	56,4	58,2	60,0	61,8	63,6	65,5	67,3	69,1	70,9	72,7
Σ 28	0,5	1	1,5	2	2,5	3	3,5	4	4,5	5	5,5	6	6,5	7	7,5	8	8,5	9	9,5	10
1...-%	1,8	3,6	5,4	7,1	8,9	10,7	12,5	14,3	16,1	17,9	19,6	21,4	23,2	25,0	26,8	28,6	30,4	32,1	33,9	35,7
10...-%	37,5	39,3	41,1	42,9	44,6	46,4	48,2	50,0	51,8	53,6	55,4	57,1	58,9	60,7	62,5	64,3	66,1	67,9	69,6	71,4
Σ 28,5	0,5	1	1,5	2	2,5	3	3,5	4	4,5	5	5,5	6	6,5	7	7,5	8	8,5	9	9,5	10
1...-%	1,8	3,5	5,3	7,0	8,8	10,5	12,3	14,0	15,8	17,5	19,3	21,1	22,8	24,6	26,3	28,1	29,8	31,6	33,3	35,1
10...-%	36,8	38,6	40,4	42,1	43,9	45,6	47,4	49,1	50,9	52,6	54,4	56,1	57,9	59,6	61,4	63,2	64,9	66,7	68,4	70,2
Σ 29	0,5	1	1,5	2	2,5	3	3,5	4	4,5	5	5,5	6	6,5	7	7,5	8	8,5	9	9,5	10
1...-%	1,7	3,4	5,2	6,9	8,6	10,3	12,1	13,8	15,5	17,2	19,0	20,7	22,4	24,1	25,9	27,6	29,3	31,0	32,8	34,5
10...-%	36,2	37,9	39,7	41,4	43,1	44,8	46,6	48,3	50,0	51,7	53,4	55,2	56,9	58,6	60,3	62,1	63,8	65,5	67,2	69,0
Σ 29,5	0,5	1	1,5	2	2,5	3	3,5	4	4,5	5	5,5	6	6,5	7	7,5	8	8,5	9	9,5	10
1...-%	1,7	3,4	5,1	6,8	8,5	10,2	11,9	13,6	15,3	16,9	18,6	20,3	22,0	23,7	25,4	27,1	28,8	30,5	32,2	33,9
10...-%	35,6	37,3	39,0	40,7	42,4	44,1	45,8	47,5	49,2	50,8	52,5	54,2	55,9	57,6	59,3	61,0	62,7	64,4	66,1	67,8
Σ 30	0,5	1	1,5	2	2,5	3	3,5	4	4,5	5	5,5	6	6,5	7	7,5	8	8,5	9	9,5	10
1...-%	1,7	3,3	5,0	6,7	8,3	10,0	11,7	13,3	15,0	16,7	18,3	20,0	21,7	23,3	25,0	26,7	28,3	30,0	31,7	33,3
10...-%	35,0	36,7	38,3	40,0	41,7	43,3	45,0	46,7	48,3	50,0	51,7	53,3	55,0	56,7	58,3	60,0	61,7	63,3	65,0	66,7
Σ 30,5	0,5	1	1,5	2	2,5	3	3,5	4	4,5	5	5,5	6	6,5	7	7,5	8	8,5	9	9,5	10
1...-%	1,6	3,3	4,9	6,6	8,2	9,8	11,5	13,1	14,8	16,4	18,0	19,7	21,3	23,0	24,6	26,2	27,9	29,5	31,1	32,8
10...-%	34,4	36,1	37,7	39,3	41,0	42,6	44,3	45,9	47,5	49,2	50,8	52,5	54,1	55,7	57,4	59,0	60,7	62,3	63,9	65,6
Σ 31	0,5	1	1,5	2	2,5	3	3,5	4	4,5	5	5,5	6	6,5	7	7,5	8	8,5	9	9,5	10
1...-%	1,6	3,2	4,8	6,5	8,1	9,7	11,3	12,9	14,5	16,1	17,7	19,4	21,0	22,6	24,2	25,8	27,4	29,0	30,6	32,3
10...-%	33,9	35,5	37,1	38,7	40,3	41,9	43,5	45,2	46,8	48,4	50,0	51,6	53,2	54,8	56,5	58,1	59,7	61,3	62,9	64,5
Σ 31,5	0,5	1	1,5	2	2,5	3	3,5	4	4,5	5	5,5	6	6,5	7	7,5	8	8,5	9	9,5	10
1...-%	1,6	3,2	4,8	6,3	7,9	9,5	11,1	12,7	14,3	15,9	17,5	19,0	20,6	22,2	23,8	25,4	27,0	28,6	30,2	31,7
10...-%	33,3	34,9	36,5	38,1	39,7	41,3	42,9	44,4	46,0	47,6	49,2	50,8	52,4	54,0	55,6	57,1	58,7	60,3	61,9	63,5

Σ 32	0,5	1	1,5	2	2,5	3	3,5	4	4,5	5	5,5	6	6,5	7	7,5	8	8,5	9	9,5	10
1...-%	1,6	3,1	4,7	6,3	7,8	9,4	10,9	12,5	14,1	15,6	17,2	18,8	20,3	21,9	23,4	25,0	26,6	28,1	29,7	31,3
10...-%	32,8	34,4	35,9	37,5	39,1	40,6	42,2	43,8	45,3	46,9	48,4	50,0	51,6	53,1	54,7	56,3	57,8	59,4	60,9	62,5

Σ 32,5	0,5	1	1,5	2	2,5	3	3,5	4	4,5	5	5,5	6	6,5	7	7,5	8	8,5	9	9,5	10
1...-%	1,5	3,1	4,6	6,2	7,7	9,2	10,8	12,3	13,8	15,4	16,9	18,5	20,0	21,5	23,1	24,6	26,2	27,7	29,2	30,8
10...-%	32,3	33,8	35,4	36,9	38,5	40,0	41,5	43,1	44,6	46,2	47,7	49,2	50,8	52,3	53,8	55,4	56,9	58,5	60,0	61,5

Σ 33	0,5	1	1,5	2	2,5	3	3,5	4	4,5	5	5,5	6	6,5	7	7,5	8	8,5	9	9,5	10
1...-%	1,5	3,0	4,5	6,1	7,6	9,1	10,6	12,1	13,6	15,2	16,7	18,2	19,7	21,2	22,7	24,2	25,8	27,3	28,8	30,3
10...-%	31,8	33,3	34,8	36,4	37,9	39,4	40,9	42,4	43,9	45,5	47,0	48,5	50,0	51,5	53,0	54,5	56,1	57,6	59,1	60,6

Σ 33,5	0,5	1	1,5	2	2,5	3	3,5	4	4,5	5	5,5	6	6,5	7	7,5	8	8,5	9	9,5	10
1...-%	1,5	3,0	4,5	6,0	7,5	9,0	10,4	11,9	13,4	14,9	16,4	17,9	19,4	20,9	22,4	23,9	25,4	26,9	28,4	29,9
10...-%	31,3	32,8	34,3	35,8	37,3	38,8	40,3	41,8	43,3	44,8	46,3	47,8	49,3	50,7	52,2	53,7	55,2	56,7	58,2	59,7

Σ 34	0,5	1	1,5	2	2,5	3	3,5	4	4,5	5	5,5	6	6,5	7	7,5	8	8,5	9	9,5	10
1...-%	1,5	2,9	4,4	5,9	7,4	8,8	10,3	11,8	13,2	14,7	16,2	17,6	19,1	20,6	22,1	23,5	25,0	26,5	27,9	29,4
10...-%	30,9	32,4	33,8	35,3	36,8	38,2	39,7	41,2	42,6	44,1	45,6	47,1	48,5	50,0	51,5	52,9	54,4	55,9	57,4	58,8

Σ 34,5	0,5	1	1,5	2	2,5	3	3,5	4	4,5	5	5,5	6	6,5	7	7,5	8	8,5	9	9,5	10
1...-%	1,4	2,9	4,3	5,8	7,2	8,7	10,1	11,6	13,0	14,5	15,9	17,4	18,8	20,3	21,7	23,2	24,6	26,1	27,5	29,0
10...-%	30,4	31,9	33,3	34,8	36,2	37,7	39,1	40,6	42,0	43,5	44,9	46,4	47,8	49,3	50,7	52,2	53,6	55,1	56,5	58,0

Σ 35	0,5	1	1,5	2	2,5	3	3,5	4	4,5	5	5,5	6	6,5	7	7,5	8	8,5	9	9,5	10
1...-%	1,4	2,9	4,3	5,7	7,1	8,6	10,0	11,4	12,9	14,3	15,7	17,1	18,6	20,0	21,4	22,9	24,3	25,7	27,1	28,6
10...-%	30,0	31,4	32,9	34,3	35,7	37,1	38,6	40,0	41,4	42,9	44,3	45,7	47,1	48,6	50,0	51,4	52,9	54,3	55,7	57,1

Σ 35,5	0,5	1	1,5	2	2,5	3	3,5	4	4,5	5	5,5	6	6,5	7	7,5	8	8,5	9	9,5	10
1...-%	1,4	2,8	4,2	5,6	7,0	8,5	9,9	11,3	12,7	14,1	15,5	16,9	18,3	19,7	21,1	22,5	23,9	25,4	26,8	28,2
10...-%	29,6	31,0	32,4	33,8	35,2	36,6	38,0	39,4	40,8	42,3	43,7	45,1	46,5	47,9	49,3	50,7	52,1	53,5	54,9	56,3

Σ 36	0,5	1	1,5	2	2,5	3	3,5	4	4,5	5	5,5	6	6,5	7	7,5	8	8,5	9	9,5	10
1...-%	1,4	2,8	4,2	5,6	6,9	8,3	9,7	11,1	12,5	13,9	15,3	16,7	18,1	19,4	20,8	22,2	23,6	25,0	26,4	27,8
10...-%	29,2	30,6	31,9	33,3	34,7	36,1	37,5	38,9	40,3	41,7	43,1	44,4	45,8	47,2	48,6	50,0	51,4	52,8	54,2	55,6

Σ 36,5	0,5	1	1,5	2	2,5	3	3,5	4	4,5	5	5,5	6	6,5	7	7,5	8	8,5	9	9,5	10
1...-%	1,4	2,7	4,1	5,5	6,8	8,2	9,6	11,0	12,3	13,7	15,1	16,4	17,8	19,2	20,5	21,9	23,3	24,7	26,0	27,4
10...-%	28,8	30,1	31,5	32,9	34,2	35,6	37,0	38,4	39,7	41,1	42,5	43,8	45,2	46,6	47,9	49,3	50,7	52,1	53,4	54,8

Σ 37	0,5	1	1,5	2	2,5	3	3,5	4	4,5	5	5,5	6	6,5	7	7,5	8	8,5	9	9,5	10
1...-%	1,4	2,7	4,1	5,4	6,8	8,1	9,5	10,8	12,2	13,5	14,9	16,2	17,6	18,9	20,3	21,6	23,0	24,3	25,7	27,0
10...-%	28,4	29,7	31,1	32,4	33,8	35,1	36,5	37,8	39,2	40,5	41,9	43,2	44,6	45,9	47,3	48,6	50,0	51,4	52,7	54,1

Σ 37,5	0,5	1	1,5	2	2,5	3	3,5	4	4,5	5	5,5	6	6,5	7	7,5	8	8,5	9	9,5	10
1...-%	1,3	2,7	4,0	5,3	6,7	8,0	9,3	10,7	12,0	13,3	14,7	16,0	17,3	18,7	20,0	21,3	22,7	24,0	25,3	26,7
10...-%	28,0	29,3	30,7	32,0	33,3	34,7	36,0	37,3	38,7	40,0	41,3	42,7	44,0	45,3	46,7	48,0	49,3	50,7	52,0	53,3

Σ 38	0,5	1	1,5	2	2,5	3	3,5	4	4,5	5	5,5	6	6,5	7	7,5	8	8,5	9	9,5	10
1...-%	1,3	2,7	4,0	5,3	6,7	8,0	9,3	10,7	12,0	13,3	14,7	16,0	17,3	18,7	20,0	21,3	22,7	24,0	25,3	26,7
10...-%	27,6	29,3	30,7	32,0	33,3	34,7	36,0	37,3	38,7	40,0	41,3	42,7	44,0	45,3	46,7	48,0	49,3	50,7	52,0	53,3

Σ 38,5	0,5	1	1,5	2	2,5	3	3,5	4	4,5	5	5,5	6	6,5	7	7,5	8	8,5	9	9,5	10
1...-%	1,3	2,6	3,9	5,2	6,5	7,8	9,1	10,4	11,7	13,0	14,3	15,6	16,9	18,2	19,5	20,8	22,1	23,4	24,7	26,0
10...-%	27,3	28,6	29,9	31,2	32,5	33,8	35,1	36,4	37,7	39,0	40,3	41,6	42,9	44,2	45,5	46,8	48,1	49,4	50,6	51,9

Σ 39	0,5	1	1,5	2	2,5	3	3,5	4	4,5	5	5,5	6	6,5	7	7,5	8	8,5	9	9,5	10
1...-%	1,3	2,6	3,8	5,1	6,4	7,7	9,0	10,3	11,5	12,8	14,1	15,4	16,7	17,9	19,2	20,5	21,8	23,1	24,4	25,6
10...-%	26,9	28,2	29,5	30,8	32,1	33,3	34,6	35,9	37,2	38,5	39,7	41,0	42,3	43,6	44,9	46,2	47,4	48,7	50,0	51,3

Σ 39,5	0,5	1	1,5	2	2,5	3	3,5	4	4,5	5	5,5	6	6,5	7	7,5	8	8,5	9	9,5	10
1...-%	1,3	2,5	3,8	5,1	6,3	7,6	8,9	10,1	11,4	12,7	13,9	15,2	16,5	17,7	19,0	20,3	21,5	22,8	24,1	25,3
10...-%	26,6	27,8	29,1	30,4	31,6	32,9	34,2	35,4	36,7	38,0	39,2	40,5	41,8	43,0	44,3	45,6	46,8	48,1	49,4	50,6
Σ 40	0,5	1	1,5	2	2,5	3	3,5	4	4,5	5	5,5	6	6,5	7	7,5	8	8,5	9	9,5	10
1...-%	1,3	2,5	3,8	5,0	6,3	7,5	8,8	10,0	11,3	12,5	13,8	15,0	16,3	17,5	18,8	20,0	21,3	22,5	23,8	25,0
10...-%	26,3	27,5	28,8	30,0	31,3	32,5	33,8	35,0	36,3	37,5	38,8	40,0	41,3	42,5	43,8	45,0	46,3	47,5	48,8	50,0
Σ 40,5	0,5	1	1,5	2	2,5	3	3,5	4	4,5	5	5,5	6	6,5	7	7,5	8	8,5	9	9,5	10
1...-%	1,2	2,5	3,7	4,9	6,2	7,4	8,6	9,9	11,1	12,3	13,6	14,8	16,0	17,3	18,5	19,8	21,0	22,2	23,5	24,7
10...-%	25,9	27,2	28,4	29,6	30,9	32,1	33,3	34,6	35,8	37,0	38,3	39,5	40,7	42,0	43,2	44,4	45,7	46,9	48,1	49,4
Σ 41	0,5	1	1,5	2	2,5	3	3,5	4	4,5	5	5,5	6	6,5	7	7,5	8	8,5	9	9,5	10
1...-%	1,2	2,4	3,7	4,9	6,1	7,3	8,5	9,8	11,0	12,2	13,4	14,6	15,9	17,1	18,3	19,5	20,7	22,0	23,2	24,4
10...-%	25,6	26,8	28,0	29,3	30,5	31,7	32,9	34,1	35,4	36,6	37,8	39,0	40,2	41,5	42,7	43,9	45,1	46,3	47,6	48,8
Σ 41,5	0,5	1	1,5	2	2,5	3	3,5	4	4,5	5	5,5	6	6,5	7	7,5	8	8,5	9	9,5	10
1...-%	1,2	2,4	3,6	4,8	6,0	7,2	8,4	9,6	10,8	12,0	13,3	14,5	15,7	16,9	18,1	19,3	20,5	21,7	22,9	24,1
10...-%	25,3	26,5	27,7	28,9	30,1	31,3	32,5	33,7	34,9	36,1	37,3	38,6	39,8	41,0	42,2	43,4	44,6	45,8	47,0	48,2
Σ 42	0,5	1	1,5	2	2,5	3	3,5	4	4,5	5	5,5	6	6,5	7	7,5	8	8,5	9	9,5	10
1...-%	1,2	2,4	3,6	4,8	6,0	7,1	8,3	9,5	10,7	11,9	13,1	14,3	15,5	16,7	17,9	19,0	20,2	21,4	22,6	23,8
10...-%	25,0	26,2	27,4	28,6	29,8	31,0	32,1	33,3	34,5	35,7	36,9	38,1	39,3	40,5	41,7	42,9	44,0	45,2	46,4	47,6
Σ 42,5	0,5	1	1,5	2	2,5	3	3,5	4	4,5	5	5,5	6	6,5	7	7,5	8	8,5	9	9,5	10
1...-%	1,2	2,4	3,5	4,7	5,9	7,1	8,2	9,4	10,6	11,8	12,9	14,1	15,3	16,5	17,6	18,8	20,0	21,2	22,4	23,5
10...-%	24,7	25,9	27,1	28,2	29,4	30,6	31,8	32,9	34,1	35,3	36,5	37,6	38,8	40,0	41,2	42,4	43,5	44,7	45,9	47,1
Σ 43	0,5	1	1,5	2	2,5	3	3,5	4	4,5	5	5,5	6	6,5	7	7,5	8	8,5	9	9,5	10
1...-%	1,2	2,3	3,5	4,7	5,8	7,0	8,1	9,3	10,5	11,6	12,8	14,0	15,1	16,3	17,4	18,6	19,8	20,9	22,1	23,3
10...-%	24,4	25,6	26,7	27,9	29,1	30,2	31,4	32,6	33,7	34,9	36,0	37,2	38,4	39,5	40,7	41,9	43,0	44,2	45,3	46,5
Σ 43,5	0,5	1	1,5	2	2,5	3	3,5	4	4,5	5	5,5	6	6,5	7	7,5	8	8,5	9	9,5	10
1...-%	1,1	2,3	3,4	4,6	5,7	6,9	8,0	9,2	10,3	11,5	12,6	13,8	14,9	16,1	17,2	18,4	19,5	20,7	21,8	23,0
10...-%	24,1	25,3	26,4	27,6	28,7	29,9	31,0	32,2	33,3	34,5	35,6	36,8	37,9	39,1	40,2	41,4	42,5	43,7	44,8	46,0
Σ 44	0,5	1	1,5	2	2,5	3	3,5	4	4,5	5	5,5	6	6,5	7	7,5	8	8,5	9	9,5	10
1...-%	1,1	2,3	3,4	4,5	5,7	6,8	8,0	9,1	10,2	11,4	12,5	13,6	14,8	15,9	17,0	18,2	19,3	20,5	21,6	22,7
10...-%	23,9	25,0	26,1	27,3	28,4	29,5	30,7	31,8	33,0	34,1	35,2	36,4	37,5	38,6	39,8	40,9	42,0	43,2	44,3	45,5
Σ 44,5	0,5	1	1,5	2	2,5	3	3,5	4	4,5	5	5,5	6	6,5	7	7,5	8	8,5	9	9,5	10
1...-%	1,1	2,2	3,4	4,5	5,6	6,7	7,9	9,0	10,1	11,2	12,4	13,5	14,6	15,7	16,9	18,0	19,1	20,2	21,3	22,5
10...-%	23,6	24,7	25,8	27,0	28,1	29,2	30,3	31,5	32,6	33,7	34,8	36,0	37,1	38,2	39,3	40,4	41,6	42,7	43,8	44,9
Σ 45	0,5	1	1,5	2	2,5	3	3,5	4	4,5	5	5,5	6	6,5	7	7,5	8	8,5	9	9,5	10
1...-%	1,1	2,2	3,3	4,4	5,6	6,7	7,8	8,9	10,0	11,1	12,2	13,3	14,4	15,6	16,7	17,8	18,9	20,0	21,1	22,2
10...-%	23,3	24,4	25,6	26,7	27,8	28,9	30,0	31,1	32,2	33,3	34,4	35,6	36,7	37,8	38,9	40,0	41,1	42,2	43,3	44,4

Крок-4. По формулі $k=BP$ визначаємо вегетативний коефіцієнт, який указує на співвідношення симпатичної і парасимпатичної активності функціонально-вегетативної системи, і ставимо функціонально-вегетативний діагноз (табл.3).

Варіанти ФВД

Таблиця 3

k=BP	ФУНКЦІОНАЛЬНЕ ЗДОРОВ'Я (ФЗ) В СТАНІ:
0,75 н <	ЗНАЧНОГО ПРИГНІЧЕННЯ ПА
0,76-0,86	ВИРАЖЕНОГО ПРИГНІЧЕННЯ ПА
0,87-0,94	ФУНКЦІОНАЛЬНОЇ КОМПЕНСАЦІЇ ПА
0,95-1,05	ВЕГЕТАТИВНОЇ РІВНОВАГИ
1,06-1,13	ФУНКЦІОНАЛЬНОЇ КОМПЕНСАЦІЇ СА
1,14-1,26	ВИРАЖЕНОГО ЗБУДЖЕННЯ СА
1,27 н >	ЗНАЧНОГО ЗБУДЖЕННЯ СА

Висновки

Таким чином.

1. ФВД, замість зовнішніх джерел живлення, використовує здатність організму генерувати слабкі струми в зовнішній замкнутий контур.

2. Показники ФВД указують на співвідношення симпатичної і парасимпатичної активності функціонально-вегета-тивного гомеостазу і дають співвідносні при повторному тестуванні результати.

3. Діагностична сталість ФВД обумовлена:

а) феноменами симетричної асинхронності репрезентативних ФАЗ і сумачії їх біоелектричної активності;

б) біофізично спорідненим значення тест-сигналу, який не перевищує рівень мембранних потенціалів (1-5 мкА; 0,03-0,6В);

в) зменшенням кількості репрезентативних ФАЗ з 24 відокремлених до 12 парних;

г) аналізом відносних показників ФВД.

4. Вегетативна суть ФВД обумовлена:

а) біофізичною реальністю взаємозалежності між репрезентативними ФАЗ;

б) абсолютною співвідносністю ЯН-ІНЬ синдромів традиційної Чжень-цзю терапії з симпатичної і парасимпатичною активністю ВНС;

в) інтегральним значенням функціонально-вегетативної оцінки.

5. Нормативи ФВД розроблені на більш ніж достатній статистичній основі (14.403 спостережень) і не мають вікових особливостей (бо основою практичного здоров'я є функціонально-вегетативна рівновага).

6. Функціональне здоров'я дитячого населення екологічно залежне, виступає біоіндикатором місця його компактного проживання і формує основу функціонально-екологічної паспортизації населення.

7. Моніторинг вегетативного здоров'я дітей є основою сучасної функціональної диспансеризації і базовим фрагментом Програми "Двох етапна система реабілітації вегетативних порушень у дітей, що мешкають в зоні радіаційного контролю України" (виконується за дорученням Кабінету Міністрів України №12010/87).

8. Отримані нами результати сьогодні можуть стати першою конкретною відповіддю України на її зобов'язання по реалізації Європейської програми "Довкілля і здоров'я дітей" (СЕНАРЕ). Інформація про це замовчується, але до міжнародного проекту Україна приєдналася ще в 2007р.

Список використаної літератури

1. Валькова Н. Ю. Сравнительная оценка инструментальной валидности анкетного вегетативного тестирования и индекса Кердо как методов интегральной оценки вегетативной регуляции // Проблемы науки и практики : региональный подход. – Архангельск, 2000. – С. 118–121.

2. Вегетативные расстройства. Клиника, диагностика, лечение /Вейн А. М., Вознесенская Т. Г., Воробьева О. В. [и др.]; под ред. А. Вейна. – М.: Медицинское информационное агентство, 2000. – 750 с. – ISBN 5-89481-066-3

3. Гербер Р. Вибрационная терапия // М., София, Гелиос, 2001.-592с. – ISBN 5-220-00451-4

4. Дубровин Денис Александрович. Трудные вопросы классической китайской медицины (трактат Нань-цзин) : монография / Д. А. Дубровин. – Л., Аста Прес, 1991, 223 с. – ISBN 5-85-962-001-02

5. Жученко П.Г., Лісовська Т.В. Біогальванізація, біоенергодіагностика, біоактиваційна та антибактеріальна терапія у вирішенні проблеми запальних захворювань в гінекології. / під ред. д.м.н. В.Г.Макаца. – "УНІ-ВЕРСУМ - Вінниця", 1998. – 119 с.

6. Иглоукалывание (перевод с вьетнамского). : монография / под общей редакцией Хоанг Бао Тяо, Ла Куанг Ниеп. – М., Медицина, 1988. – 672 с. – ISBN 5-225-00299-4

7. Макац В.Г. Акупунктурна діагностика як засіб функціональної оцінки вегетативної нервової системи (теоретичне обґрунтування) / В.Г. Макац, В.І. Нагайчук, Є.Ф. Макац // Педагогіка, психологія та медико-біологічні проблеми фізичного виховання і спорту. – 2002. - №7 – С. 3-9.
8. Нетрадиционные методы диагностики и терапии : монография / Самосюк И.З., Лысенко В.П., Лиманский Ю.П. [и др.] ; К. : Здоровье, 1994. – 137 с. – ISBN 5-311-00804-0
9. Портнов Ф. Г. Электронпунктурная рефлексотерапия : монография / Ф. Г. Портнов. – Рига, Зинатне, 1988. – 352 с. – ISBN 5-7966-0132-6
10. Розанов А.Л. Метод электронпунктурной диагностики "Прогноз">// Рефлексотерапия. – № 1(04)2003. – С. 26-39.
11. Руководство по рефлексотерапии. Электронпунктурная диагностика - Nakatani Test : монография / Самосюк И.З., Фисенко Л.И., Чухраев Н.В. [и др.] ; К. : АО Укрпрофздравница, 1997 –206 с.
12. Табеева Д. М. Руководство по иглорефлексотерапии : монография / Д. М. Табеева. – М., Медицина, 1980. – 560 с.
13. Чжу-Лянь. Руководство по современной рефлексотерапии (иглоукальвание и прижигание) // М., Гсиздат медицинской литературы. - 1959. – 270с..
14. Шень Чжицзян. О тенденции развития медицинской акупунктуры в мире // Рефлексотерапия и комплексментарная медицина. №1(1), 2012.–С.14-16.
15. Medicine. China, [1982]. – 408 s. – ISBN 962-06-0287-0
16. Voll Reinhold. Twenty years of electropuncture diagnostic in Germani / R Voll ; Amer. J. Acupuncture. – 1975. – vol. 3. - № 7
17. Wancura Ingrid. Praxis und Theorie der Neuen Chinesischen akupunrtur. Band 2 : monograph / I. Wancura. – Wien-Munchen-Bern,1983, – 342 s. – ISBN 3-85175-295-3